と Eco-Environmental Knowledge Web



ENVIRONMENTAL SCIENCE

ISSN 0250-3301 CODEN HCKHDV HUANJING KEXUE

- 主办 中国科学院生态环境研究中心
- ■出版科学出版社





2020

Vol.41 No.8 第41卷 第8期

ENVIRONMENTAL SCIENCE

第41卷 第8期 2020年8月15日

目 次

福来大语的与26气血污染应急减制精液及环化分析
。
中担区黄阳市一处重度污染期间 PM,中 12 种级量元素对征及来源种析
推薦集 田原、毛屬、刘威杰、石明明、生貌、胡云殿、郑后郎、杉士华、别金原(456) 中市冬季重污染二次有机化学污染特征及 VOCs 对 SOA 生成潜势 体力、多观、所数、大型、原产、生之作、热力深、除愈、刀龙、(3422) 川市某城区冬季不同污染水平大气 VOCs 特征及照解析 (42、房观、用效关、高溪黄、炀宁、李立作、热力深、除愈、邓介文(3422) (21 金) 2010 - 2018 中生物质燃烧中等将发性有机物(NoCs) 棒故声单 朱太忠、王允、贵家、民司他、李明、王传说(3507) (21 金) 2010 - 2018 中生物质燃烧中等将发性有机物(NoCs) 棒故声单 朱太忠、王允、贵家、民司他、李明、王传说(3517) (21 金) 2010 - 2018 中生物质燃烧中等将发性有机物(NoCs) 棒故声单 朱太忠、王允、贵家、民司他、李明、王传说(3517) (21 金) 2010 - 2018 中生物质燃烧中等将发性有机物(NoCs) 棒故声单 朱太忠、王允、帝帝、一回名、光动、近面相、中代众(3527) 安市点代良氧污染特征及聚聚性分析
指揮表域区冬季不同污染水平大气 VOCs 特征及跟解析 特正、房逝、肾逝、肾炎、高观繁、粉宁、辛之体、邓为茂、殊生、邓为文(1492)
州市東歐区冬季和同污染水平大气 VOC 等極 医胸解析 "年一升,尹沙沙、张朝帝、干生恋、 形貌、张信(360) 江下伯州 2010 - 2019 年生物质验验中等密发性有限的 (VOCS) 排放清单 朱木慧、王信、宠凌、 原司先、李君、王德(5311) 方常见绿化柯种 BVOCs 排放特征及其与光合作用参数的相关任 高平、庄立族、王克、陈寿萍,同烹、流动、危面雅、平允后(3527) 安市市场政策型地面臭氧变化特征与影相位于 高平、庄立族、王克、陈寿萍,同烹、流动、危面雅、平允后(3527) 安市市场政策型地面臭氧变化特征与影相位于 高平、庄立族、王克、陈寿萍,同烹、流动、危面雅、平允后(3527) 安市高校校园地表处土重金属污染非源期解析 -
11 二角類 2010 - 2018 年生物硬燃烧中等挥发性有视物(1VOCs) 接滤清单
州地区授予不同站点类型地面风气氧空化等征于验验的性子 空市公气臭氧污染等格征及敏感性分析
安市大Q氧等次學能及短感性分析
安市高於民間地表灰土重全國污染來屬較析 (馬排放高階灰气色颗粒物監測方法及燃气电厂实际测试 一下整大,等原、果美、异新卫、刘楚朝、春育(3565) 于交通流的成都市高分辨率机动车排放清单建立 清玉建、李髮、陈军鲜、石嘉诚、田红、张耒、周载、陈襄阳、吴柳原、月元、杨心怡(3572) 于交通流的成都市高分辨率机动车排放清单建立 清玉建、李髮、陈军鲜、石嘉诚、田红、张耒、周载、陈襄则、对政、钱聚(3581) 黄所新、应略券、夏加、马海林、杨堰军、杜晓夏(3591) 两水体分层对沉积物间除水煮蛋重向分布影响,以三峡水库和小湾水库为例 动静思、朱晓声、胡子龙、张思思、杨正健、纪遗疏、刘德富(3601) 市河道污染植物野落结构时空变化转症及影响因素分析 特定、陈本印、亲生、李嘉、聂云汉、叶建锋(3612) 每件通道污染植物群落结构时空变化转位及影响因素分析 特定、陈本印、光速、水水、泉、水工、胡双庆、白玉杰(3621) 氧化钙(CaO)、联合生物类对河道底泥的修复 "特定、除小平、沈模样、朱美、钱晚嘉、张心良、张卫、胡双庆、白玉杰(3621) 事在医院长便城坡沟垄果周氪、磷输出过程及流失负荷 "声水、王玉克、刘勤、徐麒、月泽军、3663) 健康值使地区城市小区降雨径流污染特征及负荷估算 在成等(5°8°8-NO ₅)。4°8-NO ₅) 和 IsaSource 模型的岩溶槽谷区地下水硝酸盐来源的定量示综 徐璐、蒋勇军、段世峰、何瑜亮(3637) 埃库区模度使侧坡沟垄果周氪、磷输出过程及流失负荷 广西、王王克、刘勤、徐麒、同洋是(3655) 是旋植化地区城市小区降雨径流污染特征及负荷估算 在成等特性对生物膜形成影响 从直转特性对生物膜形成影响 兼起熬、难意媚、毒芽、张光秀、泉子、清思思、彭龙强(3657) 是线线化组的适应进特性、MBBR 和IFAS 泰利、丰木,共为、张秀、夷、光系、美、美、光、为、用度、方面(3684) 建设相互或原动的短程反硝化洗起后动及设定性 张星星、王超观、王走、各条中、果然(3797) 对在生物膜形成短器的现在分析以起后动及处定性 张星星、王超观、王虚、徐年中、吴锡(3715) 于 AHP-PROMETHEE I 法的乌类石磷回收污泥烧型质量、共产性、黄水、绿、水、绿、海、鸡、鸡、鸡、鸡、鸡、鸡、鸡、鸡、鸡、鸡、鸡、鸡、鸡、鸡、鸡、鸡、鸡、鸡
安市高於民間地表灰土重全國污染來屬較析 (馬排放高階灰气色颗粒物監測方法及燃气电厂实际测试 一下整大,等原、果美、异新卫、刘楚朝、春育(3565) 于交通流的成都市高分辨率机动车排放清单建立 清玉建、李髮、陈军鲜、石嘉诚、田红、张耒、周载、陈襄阳、吴柳原、月元、杨心怡(3572) 于交通流的成都市高分辨率机动车排放清单建立 清玉建、李髮、陈军鲜、石嘉诚、田红、张耒、周载、陈襄则、对政、钱聚(3581) 黄所新、应略券、夏加、马海林、杨堰军、杜晓夏(3591) 两水体分层对沉积物间除水煮蛋重向分布影响,以三峡水库和小湾水库为例 动静思、朱晓声、胡子龙、张思思、杨正健、纪遗疏、刘德富(3601) 市河道污染植物野落结构时空变化转症及影响因素分析 特定、陈本印、亲生、李嘉、聂云汉、叶建锋(3612) 每件通道污染植物群落结构时空变化转位及影响因素分析 特定、陈本印、光速、水水、泉、水工、胡双庆、白玉杰(3621) 氧化钙(CaO)、联合生物类对河道底泥的修复 "特定、除小平、沈模样、朱美、钱晚嘉、张心良、张卫、胡双庆、白玉杰(3621) 事在医院长便城坡沟垄果周氪、磷输出过程及流失负荷 "声水、王玉克、刘勤、徐麒、月泽军、3663) 健康值使地区城市小区降雨径流污染特征及负荷估算 在成等(5°8°8-NO ₅)。4°8-NO ₅) 和 IsaSource 模型的岩溶槽谷区地下水硝酸盐来源的定量示综 徐璐、蒋勇军、段世峰、何瑜亮(3637) 埃库区模度使侧坡沟垄果周氪、磷输出过程及流失负荷 广西、王王克、刘勤、徐麒、同洋是(3655) 是旋植化地区城市小区降雨径流污染特征及负荷估算 在成等特性对生物膜形成影响 从直转特性对生物膜形成影响 兼起熬、难意媚、毒芽、张光秀、泉子、清思思、彭龙强(3657) 是线线化组的适应进特性、MBBR 和IFAS 泰利、丰木,共为、张秀、夷、光系、美、美、光、为、用度、方面(3684) 建设相互或原动的短程反硝化洗起后动及设定性 张星星、王超观、王走、各条中、果然(3797) 对在生物膜形成短器的现在分析以起后动及处定性 张星星、王超观、王虚、徐年中、吴锡(3715) 于 AHP-PROMETHEE I 法的乌类石磷回收污泥烧型质量、共产性、黄水、绿、水、绿、海、鸡、鸡、鸡、鸡、鸡、鸡、鸡、鸡、鸡、鸡、鸡、鸡、鸡、鸡、鸡、鸡、鸡、鸡
[] 市船舶控制区大气污染物排放清单与污染特征
[] 市船舶控制区大气污染物排放清单与污染特征
[] 市船舶控制区大气污染物排放清单与污染特征
于交通流的战都市高分辨率机动车排放清单建立
同水体分层对沉积物间即水氮素垂向分布影响,以三峡水库和小湾水库为例
同水体分层对沉积物间即水氮素垂向分布影响,以三峡水库和小湾水库为例
刘静愿,朱晓声,胡子龙,张思思,杨正健、纪道斌、刘德富(3601)梅河道表层水及沉积物中碳塑料的污染现状与污染行为
市河道寿层水及沉积物中做塑料的污染现状与污染行为
海河道浮游植物群落结构时空变化特征及影响因素分析
等志、陈小华、沈根祥、朱英、钱晓雍、张心良、张卫、胡双庆、白玉杰(3621) 氧化钙(CaO ₂)联合生物炭对河道底泥的修复 — 李雨平、姜堂堂、刘宝明,阮文权、缪恒锋(3629) 于双同位素(8 ¹⁵ N-NO ₅ -8 ¹⁸ O-NO ₅)和 IsoSource 模型的岩溶槽谷区地下水硝酸盐来源的定量示踪
于双同位素(8*N-NO ₃ -8*O-NO ₃ -)和 IsoSource 模型的岩溶槽谷区地下水硝酸盐来源的定量示踪
于双同位素(8*N-NO ₃ -8*O-NO ₃ -)和 IsoSource 模型的岩溶槽谷区地下水硝酸盐来源的定量示踪
徐璐、蒋勇军、段世辉、何瑞亮(3637)
度城镇化地区城市小区降雨径流污染特征及负荷估算 高斌,并有鹏,陆苗,林芷欣,徐兴(3657)
度城镇化地区城市小区降雨径流污染特征及负荷估算 高斌,并有鹏,陆苗,林芷欣,徐兴(3657)
化生物膜系统对低温的适应特性: MBBR 和 IFAS 李韧,于莉芳,张兴秀,戴子承,滑思思,彭党聪(3691) 质硫自养短程反硝化耦合厌氧氨氧化强化脱氮 方文烨,李祥,黄勇,郭超然,胡羽婷,陶仁杰(3699) 歇梯度曝气的生活污水好氧颗粒污泥脱氮除磷 张玉君,李冬,李帅,张杰(3707) 于不同废污泥源的短程反硝化快速启动及稳定性 张星星,王超超,王垚,徐乐中,吴聘(3715) 于 AHP-PROMETHEE II 法的鸟类石磷间收污泥预处理方案决策 刘吉宝,牛雨形,郁达伟,谭颖锋,左壮,魏源送(3731) 于厌氧膜生物反应器的剩余污泥-餐厨垃圾厌氧共消化性能 戴金金,牛承鑫,潘阳,陆雪琴,甄广印,郑朝婷,张瑞良,何欣昱(3740) 剂量抗生素诱导抗性基因水平迁移 袁其懿,CHEN Hong-jie,Laurence Haller,何义亮(3748) 刚素胁迫对 Shigella flexneri 细菌四环素抗性基因抗性表达的影响过程 高品,阮晓慧,邱文婕,薛罡,钱雅洁(3758) 股对氨氧化菌和亚硝酸盐氧化菌的竞争性选择 高品,阮晓慧,邱文婕,薛罡,钱雅洁(3758) 股对氨氧化菌和亚硝酸盐氧化过程中微生物菌群结构影响 侯晓薇,牛永健,李维维,王光杰,孙洪伟(3773) 生物种同相互作用产生锰氧化的普适性选择 海路,等波,李维维,甚光杰,孙洪伟(3773) 生物种同相互作用产生锰氧化的普适性及其潜在应用 宁雪,梁金松,柏耀挥,廖恺玲俐,刘贞辉(3781) 亚河红树林表层沉积物中好氧氨氧化微生物的分布特征及潜在硝化速率 罗晴,甄毓,彭宗波,贺惠(3781) 亚河红树林表层沉积物中好氧氨氧化微生物的分布特征及潜在硝化速率 罗晴,甄翰,彭宗波,贺惠(3787) 变碳输入对新疆天山雪岭云杉林土壤呼吸的短期影响 师章,方笑堃,罗小三,张丹,吴礼春,邱丹,陈志炜,赵辟(3797) 变碳输入对新疆天山雪岭云杉林土壤呼吸的短期影响 原生,方笑堃,罗小三,张丹,吴礼春,邱升,陈志炜,赵辟(3804) 机无机肥配施对不同程度盐渍土 N ₂ O 排放的影响
化生物膜系统对低温的适应特性: MBBR 和 IFAS 李韧,于莉芳,张兴秀,戴子承,滑思思,彭党聪(3691) 质硫自养短程反硝化耦合厌氧氨氧化强化脱氮 方文烨,李祥,黄勇,郭超然,胡羽婷,陶仁杰(3699) 歇梯度曝气的生活污水好氧颗粒污泥脱氮除磷 张玉君,李冬,李帅,张杰(3707) 于不同废污泥源的短程反硝化快速启动及稳定性 张星星,王超超,王垚,徐乐中,吴聘(3715) 于 AHP-PROMETHEE II 法的鸟类石磷间收污泥预处理方案决策 刘吉宝,牛雨形,郁达伟,谭颖锋,左壮,魏源送(3731) 于厌氧膜生物反应器的剩余污泥-餐厨垃圾厌氧共消化性能 戴金金,牛承鑫,潘阳,陆雪琴,甄广印,郑朝婷,张瑞良,何欣昱(3740) 剂量抗生素诱导抗性基因水平迁移 袁其懿,CHEN Hong-jie,Laurence Haller,何义亮(3748) 刚素胁迫对 Shigella flexneri 细菌四环素抗性基因抗性表达的影响过程 高品,阮晓慧,邱文婕,薛罡,钱雅洁(3758) 股对氨氧化菌和亚硝酸盐氧化菌的竞争性选择 高品,阮晓慧,邱文婕,薛罡,钱雅洁(3758) 股对氨氧化菌和亚硝酸盐氧化过程中微生物菌群结构影响 侯晓薇,牛永健,李维维,王光杰,孙洪伟(3773) 生物种同相互作用产生锰氧化的普适性选择 海路,等波,李维维,甚光杰,孙洪伟(3773) 生物种同相互作用产生锰氧化的普适性及其潜在应用 宁雪,梁金松,柏耀挥,廖恺玲俐,刘贞辉(3781) 亚河红树林表层沉积物中好氧氨氧化微生物的分布特征及潜在硝化速率 罗晴,甄毓,彭宗波,贺惠(3781) 亚河红树林表层沉积物中好氧氨氧化微生物的分布特征及潜在硝化速率 罗晴,甄翰,彭宗波,贺惠(3787) 变碳输入对新疆天山雪岭云杉林土壤呼吸的短期影响 师章,方笑堃,罗小三,张丹,吴礼春,邱丹,陈志炜,赵辟(3797) 变碳输入对新疆天山雪岭云杉林土壤呼吸的短期影响 原生,方笑堃,罗小三,张丹,吴礼春,邱升,陈志炜,赵辟(3804) 机无机肥配施对不同程度盐渍土 N ₂ O 排放的影响
化生物膜系统对低温的适应特性: MBBR 和 IFAS 李韧,于莉芳,张兴秀,戴子承,滑思思,彭党聪(3691) 质硫自养短程反硝化耦合厌氧氨氧化强化脱氮 方文烨,李祥,黄勇,郭超然,胡羽婷,陶仁杰(3699) 歇梯度曝气的生活污水好氧颗粒污泥脱氮除磷 张玉君,李冬,李帅,张杰(3707) 于不同废污泥源的短程反硝化快速启动及稳定性 张星星,王超超,王垚,徐乐中,吴聘(3715) 于 AHP-PROMETHEE II 法的鸟类石磷间收污泥预处理方案决策 刘吉宝,牛雨形,郁达伟,谭颖锋,左壮,魏源送(3731) 于厌氧膜生物反应器的剩余污泥-餐厨垃圾厌氧共消化性能 戴金金,牛承鑫,潘阳,陆雪琴,甄广印,郑朝婷,张瑞良,何欣昱(3740) 剂量抗生素诱导抗性基因水平迁移 袁其懿,CHEN Hong-jie,Laurence Haller,何义亮(3748) 刚素胁迫对 Shigella flexneri 细菌四环素抗性基因抗性表达的影响过程 高品,阮晓慧,邱文婕,薛罡,钱雅洁(3758) 股对氨氧化菌和亚硝酸盐氧化菌的竞争性选择 高品,阮晓慧,邱文婕,薛罡,钱雅洁(3758) 股对氨氧化菌和亚硝酸盐氧化过程中微生物菌群结构影响 侯晓薇,牛永健,李维维,王光杰,孙洪伟(3773) 生物种同相互作用产生锰氧化的普适性选择 海路,等波,李维维,甚光杰,孙洪伟(3773) 生物种同相互作用产生锰氧化的普适性及其潜在应用 宁雪,梁金松,柏耀挥,廖恺玲俐,刘贞辉(3781) 亚河红树林表层沉积物中好氧氨氧化微生物的分布特征及潜在硝化速率 罗晴,甄毓,彭宗波,贺惠(3781) 亚河红树林表层沉积物中好氧氨氧化微生物的分布特征及潜在硝化速率 罗晴,甄翰,彭宗波,贺惠(3787) 变碳输入对新疆天山雪岭云杉林土壤呼吸的短期影响 师章,方笑堃,罗小三,张丹,吴礼春,邱丹,陈志炜,赵辟(3797) 变碳输入对新疆天山雪岭云杉林土壤呼吸的短期影响 原生,方笑堃,罗小三,张丹,吴礼春,邱升,陈志炜,赵辟(3804) 机无机肥配施对不同程度盐渍土 N ₂ O 排放的影响
化生物膜系统对低温的适应特性: MBBR 和 IFAS 李韧,于莉芳,张兴秀,戴子承,滑思思,彭党聪(3691) 质硫自养短程反硝化耦合厌氧氨氧化强化脱氮 方文烨,李祥,黄勇,郭超然,胡羽婷,陶仁杰(3699) 歇梯度曝气的生活污水好氧颗粒污泥脱氮除磷 张玉君,李冬,李帅,张杰(3707) 于不同废污泥源的短程反硝化快速启动及稳定性 张星星,王超超,王垚,徐乐中,吴聘(3715) 于 AHP-PROMETHEE II 法的鸟类石磷间收污泥预处理方案决策 刘吉宝,牛雨形,郁达伟,谭颖锋,左壮,魏源送(3731) 于厌氧膜生物反应器的剩余污泥-餐厨垃圾厌氧共消化性能 戴金金,牛承鑫,潘阳,陆雪琴,甄广印,郑朝婷,张瑞良,何欣昱(3740) 剂量抗生素诱导抗性基因水平迁移 袁其懿,CHEN Hong-jie,Laurence Haller,何义亮(3748) 刚素胁迫对 Shigella flexneri 细菌四环素抗性基因抗性表达的影响过程 高品,阮晓慧,邱文婕,薛罡,钱雅洁(3758) 股对氨氧化菌和亚硝酸盐氧化菌的竞争性选择 高品,阮晓慧,邱文婕,薛罡,钱雅洁(3758) 股对氨氧化菌和亚硝酸盐氧化过程中微生物菌群结构影响 侯晓薇,牛永健,李维维,王光杰,孙洪伟(3773) 生物种同相互作用产生锰氧化的普适性选择 海路,等波,李维维,甚光杰,孙洪伟(3773) 生物种同相互作用产生锰氧化的普适性及其潜在应用 宁雪,梁金松,柏耀挥,廖恺玲俐,刘贞辉(3781) 亚河红树林表层沉积物中好氧氨氧化微生物的分布特征及潜在硝化速率 罗晴,甄毓,彭宗波,贺惠(3781) 亚河红树林表层沉积物中好氧氨氧化微生物的分布特征及潜在硝化速率 罗晴,甄翰,彭宗波,贺惠(3787) 变碳输入对新疆天山雪岭云杉林土壤呼吸的短期影响 师章,方笑堃,罗小三,张丹,吴礼春,邱丹,陈志炜,赵辟(3797) 变碳输入对新疆天山雪岭云杉林土壤呼吸的短期影响 原生,方笑堃,罗小三,张丹,吴礼春,邱升,陈志炜,赵辟(3804) 机无机肥配施对不同程度盐渍土 N ₂ O 排放的影响
质硫自养短程反硝化耦合厌氧氨氧化强化脱氮 方文烨,李祥、黄勇,郭超然,胡羽婷,陶仁杰(3699) 歇梯度曝气的生活污水好氧颗粒污泥脱氮除磷 张玉君,李冬,李帅,张杰(3707) 于不同废污泥源的短程反硝化快速启动及稳定性 张星星,王超超,王垚,徐乐中,吴鹏(3715) 于 AHP-PROMETHEE II 法的鸟粪石磷回收污泥预处理方案决策 刘吉宝,牛雨彤,郁达伟,谭颖锋,左壮,魏源送(3731) 于厌氧膜生物反应器的剩余污泥-餐厨垃圾厌氧共消化性能 戴金金,牛承鑫,潘阳,陆雪琴,甄广印,郑朝婷,张瑞良,何欣昱(3740) 剂量抗生素诱导抗性基因水平迁移 袁其懿,CHEN Hong-jie,Laurence Haller,何义亮(3748) 怀紊胁迫对 Shigella flexneri 细菌四环素抗性基因抗性表达的影响过程 高品,阮晓慧,邱文婕,薛罡,钱雅洁(3758) 胺对氨氧化菌和亚硝酸盐氧化过程中微生物菌群结构影响 侯晓薇,牛永健,李维维,王光杰,孙洪伟(3773) 建物种间相互作用产生锰氧化的普适性及其潜在布面用 宁雪,梁金松,柏耀辉,廖恺玲俐,刘会娟,曲久辉(3781) 亚河红树林表层沉积物中好氧氨氧化微生物的分布特征及潜在硝化速率 罗晴,甄毓,彭宗波,贺惠(3787) 氧污染对水稻生长,产量及矿质金属元素含量的影响 方笑堃,罗小三,张丹,吴礼春,邱丹,陈志炜,赵跃(3797) 变碳输入对新疆天山雪岭云杉林土壤呼吸的短期影响 市关堃,罗小三,张丹,吴礼春,邱丹,陈志炜,赵张(3797) 变碳输入对新疆天山雪岭云杉林土壤呼吸的短期影响 邓康,贡馨,两学敏,陈文静,张雪妃,朱海强(3804) 机肥配施对工同程度盐渍土 N,O 排放的影响
于 AHP-PROMETHEE II 法的鸟粪石磷回收污泥预处理方案决策
于 AHP-PROMETHEE II 法的鸟粪石磷回收污泥预处理方案决策
于 AHP-PROMETHEE II 法的鸟粪石磷回收污泥预处理方案决策
价铁对厌氧消化过程中氨氮抑制解除的影响
于厌氧膜生物反应器的剩余污泥-餐厨垃圾厌氧共消化性能 … 戴金金,牛承鑫,潘阳,陆雪琴,甄广印,郑朝婷,张瑞良,何欣昱(3740)剂量抗生素诱导抗性基因水平迁移 袁其懿,CHEN Hong-jie,Laurence Haller,何义亮(3748)
剂量抗生素诱导抗性基因水平迁移 袁其懿,CHEN Hong-jie,Laurence Haller,何义亮(3748) 环素胁迫对 Shigella flexneri 细菌四环素抗性基因抗性表达的影响过程
环素胁迫对 Shigella flexneri 细菌四环素抗性基因抗性表达的影响过程 高品,阮晓慧,邱文婕,薛罡,钱雅洁(3758) 胺对氨氧化菌和亚硝酸盐氧化菌的竞争性选择
胺对氨氧化菌和亚硝酸盐氧化菌的竞争性选择
温冲击对亚硝酸盐氧化过程中微生物菌群结构影响
生物种间相互作用产生锰氧化的普适性及其潜在应用
亚河红树林表层沉积物中好氧氨氧化微生物的分布特征及潜在硝化速率 罗晴,甄毓,彭宗波,贺惠(3787) 氧污染对水稻生长、产量及矿质金属元素含量的影响
氧污染对水稻生长、产量及矿质金属元素含量的影响 方笑堃,罗小三,张丹,吴礼春,邱丹,陈志炜,赵朕(3797)变碳输入对新疆天山雪岭云杉林土壤呼吸的短期影响 邓康,贡璐,何学敏,陈文静,张雪妮,朱海强(3804)机无机肥配施对不同程度盐渍土 N ₂ O 排放的影响 周慧,史海滨,郭珈玮,张文聪,王维刚(3811)位电阻热脱附土壤升温机制及影响因素 葛松,孟宪荣,许伟,施维林(3822) 穿灯心草作为酸性矿山废弃地先锋植物潜力 黄建洪,伏江丽,严鑫睿,尹凤,田森林,宁平,李英杰(3829) 灌方式和生物质炭对温室土壤矿质态氮及其微生物调控的影响 蔡九茂,刘杰云,邱虎森,吕谋超,周新国(3836) 秆炭调控对碱性镉污染水稻根际土壤真菌群落结构和功能的影响 郊师豆,韩耀光,朱新萍,吴相南(3846)
变碳输入对新疆天山雪岭云杉林土壤呼吸的短期影响
机无机肥配施对不同程度盐渍土 N ₂ O 排放的影响
位电阻热脱附土壤升温机制及影响因素 ····································
序灯心草作为酸性矿山废弃地先锋植物潜力 ······················ 黄建洪,伏江丽,严鑫睿,尹凤,田森林,宁平,李英杰(3829) 灌方式和生物质炭对温室土壤矿质态氮及其微生物调控的影响 ··············· 蔡九茂,刘杰云,邱虎森,吕谋超,周新国(3836) 秆炭调控对碱性镉污染水稻根际土壤真菌群落结构和功能的影响 ······················ 刘师豆,韩耀光,朱新萍,吴相南(3846)
灌方式和生物质炭对温室土壤矿质态氮及其微生物调控的影响 ·················· 蔡九茂,刘杰云,邱虎森,吕谋超,周新国(3836) 杆炭调控对碱性镉污染水稻根际土壤真菌群落结构和功能的影响 ················· 刘师豆,韩耀光,朱新萍,吴相南(3846)
秆炭调控对碱性镉污染水稻根际土壤真菌群落结构和功能的影响 刘师豆,韩耀光,朱新萍,吴相南(3846)
忙灰厕拴刈厕往输污染水稻恨际土壤具困栟洛萡构和切能的影响
(7 L. /) Attended Date (A. a.) Trans March Burger L. Att. (a.) Herta (M. H.) and
同水分管理模式联合叶面喷施硅肥对水稻 Cd 累积的影响 ····································
魏宾坛,周航,刘佳炜,张竞颐,黄芳,霍洋,胡雨丹,辜娇峰,刘俊,廖柏寒(3855)
合剂 GLDA 对象草修复镉污染农田的影响 ······················· 覃建军, 唐盛爽, 蒋凯, 黄敬, 侯红波, 龙坚, 彭佩钦(3862) 植业面源污染防控技术发展历程分析及趋势预测 ································ 俞映倞, 杨林章, 李红娜, 朱昌雄, 杨根, 薛利红(3870)
F境科学》征订启事(3636) 《环境科学》征稿简则(3764) 信息(3538,3628,3724)



餐饮源有机颗粒物排放特征

李源遽^{1,2},吴爱华^{1*},童梦雪¹,栾胜基¹,李鸷¹,胡敏²

(1. 北京大学深圳研究院, 深圳 518057; 2. 北京大学环境科学与工程学院, 环境模拟与污染控制国家重点联合实验室, 北京 100871)

摘要:餐饮油烟是大气有机颗粒物的重要来源之一.本研究在深圳市内选择了西餐、茶餐厅、职工食堂和韩式料理这4种类型 的餐馆,通过对这4类餐厅的外场采样,分析各类型餐厅油烟中有机颗粒物的化学组成,筛选了餐饮油烟污染源的有机特征组 分. 结果表明,各餐馆排放的 PM,、中,有机物占 60% 以上. 在所有定量的有机组分之中,脂肪酸含量最高,其次是二元羧酸和 正构烷烃,而多环芳烃、甾醇和单糖等有机组分的含量较低.颗粒物的有机组成特征受到菜系的影响,西餐厅和韩式料理排放 脂肪酸、正构烷烃和多环芳烃等有机物含量较高,但却排放了低含量的甾醇和单糖,茶餐厅和职工食堂则相反.餐饮源颗粒物 中 Fla/(Fla + Pyr)和 LG/(Gal + Man)的比值受菜系影响较小,也区别于其他污染源的特征比值,可以作为餐饮源潜在的示踪 物. 餐饮源为深圳市大气颗粒物贡献了大量的脂肪酸和二元羧酸.

关键词:大气环境;餐饮源;颗粒物;有机组分;示踪物

中图分类号: X513 文献标识码: A 文章编号: 0250-3301(2020)08-3467-08 DOI: 10.13227/j. hjkx. 202001027

Emission Characteristics of Particulate Organic Matter from Cooking

LI Yuan-ju^{1,2}, WU Ai-hua^{1*}, TONG Meng-xue¹, LUAN Sheng-ji¹, LI Zhi¹, HU Min²

(1. Shenzhen Institute, Peking University, Shenzhen 518057, China; 2. State Key Joint Laboratory of Environmental Simulation and Pollution Control, College of Environmental Sciences and Engineering, Peking University, Beijing 100871, China)

Abstract: Cooking is an important source of atmospheric particulate organic matter (POM). In this study, four Chinese restaurants in Shenzhen (west style, dim-sim restaurant, worker's canteen, and Korean cuisine) were sampled to examine the chemical composition of POM and research molecular tracers. The result showed that more than 60% of the PM_{2.5} mass was due to organic compounds. For the quantified organic compounds, the results indicated that fatty acids, dicarboxylic acids, and n-alkanes were the major organic compounds emitted from all cooking styles, PAHs, sterols, and monosaccharide anhydrides were found at relatively low levels. The composition of POM was strongly influenced by cooking style. The cooking styles of the west and Korean restaurant emitted the most abundant fatty acids, n-alkanes, and PAHs, but the least sterols and monosaccharide anhydrides, whereas the dim-sim restaurant and worker's canteen displayed the opposite results. The values of Fla/(Fla + Pyr) and LG/(Gal + Man) provided candidate tracers for cooking because they were less influenced by the cooking styles and were significantly different from other pollutant sources. Furthermore, cooking contributed significant amounts of fatty acids and dicarboxylic acids to atmospheric PM in Shenzhen.

Key words: atmospheric environment; cooking; PM; organic compounds; tracers

随着我国经济的不断发展,大气污染问题日益 严重.目前,我国大气环境污染的特征主要表现为大 气氧化性增强、二次污染严重和有机物污染突出,有 机物已成为大气颗粒物的主要组分之一[1,2]. 餐饮 源排放的颗粒物中有机组分占颗粒物总质量的 50%以上,是大气有机颗粒物的重要来源之一[3~6]. 据报道,北京市餐饮源排放的有机颗粒物对大气一 次有机气溶胶(OA)的贡献已经超过 20% [7,8]. 因 此,明晰烹饪过程中有机颗粒物的排放特征是当前 我国环境保护的重要工作.

国内外学者针对中西式餐饮油烟中有机颗粒物 的化学组成和排放因子等开展了较广泛的研究. 国 外针对西餐肉类烹饪定量分析了超过75种有机物, 包括正烷烃、脂肪酸、二元羧酸、醛酮类、呋喃、内酯 和类固醇等. 在这些化合物中,浓度最高的是十六烷 酸,十八烷酸和十八烯酸;而肉类烹饪排放的胆甾 醇的浓度与大气中胆甾醇的浓度是一致的. 因此,综 合胆甾醇、十六烷酸、十八烷酸和十八稀酸等的排放 特征,可以作为西式餐饮(肉类烹饪)的特征指示 物[9~14]. 国内在有机颗粒物方面的研究开展于 2000 年之后, He 等[15] 最早于 2004 年对深圳市的粤菜和 湘菜的排放特征进行了研究,随后 Zhao 等[16]在此 基础上进一步研究了广州市粤菜、川菜、湘菜和东北 菜油烟中有机颗粒物的组成特征. 他们的研究发现 中式餐饮比西餐排放了更多的多环芳烃. 此外,十四 烷酸、十六烷酸、十八烷酸、正壬醛、内酯和左旋葡聚 糖都是潜在的中式餐饮有机示踪物. 近年来,国内学 者又通过模拟实验对油烟颗粒物中的有机组分进行 了分析[17~19],其中王红丽等[19]的研究发现实验过

收稿日期: 2020-01-03; 修订日期: 2020-02-27

基金项目: 国家重点研发计划项目(2017YFC0211501); 环境模拟与 污染控制国家重点联合实验室开放课题项目 (19K02ESPCP)

作者简介:李源遽(1990~),男,博士后,主要研究方向为大气污染 控制, E-mail: livuanju1990@ outlook. com

* 通信作者,E-mail:IERESPC@163.com

程中产生的有机颗粒物中质量分数最高的是正构烷 烃和甾醇类有机物,该结果与 He 等^[15] 和 Zhao 等^[16]的结果之间存在较大的差距.

中式餐饮烹饪方式复杂、菜系众多,国内针对不同菜系的研究还不够全面,这是造成外场采样与模拟实验结果有差异的原因;而除了中餐之外,国内西餐的规模也越来越大,国内还缺少针对西餐的深入研究.因此,本文选择了包括西餐、广式茶餐厅、职工食堂和韩式料理作为研究对象,通过对深圳市的上述4类餐厅的外场采样,深入探讨各类型餐厅油烟中有机颗粒物的化学组成,并筛选餐饮油烟污染源的特征有机组分.

1 材料与方法

1.1 样品采集

本研究在深圳市内选择了西餐、茶餐厅、职工食

堂和韩式料理这4种类型的餐馆,各类型餐厅的具 体信息见表 1. 每家餐厅采样 2 d,每天两次,采样时 间是11:00~13:00 和17:00~19:00 的用餐高峰 期. 采样期间,使用一台中流量采样泵(Model2030, 崂应,中国)在烟道-专用采样口进行采集.采样口位 于烟道垂直管段,避开了烟道弯头和阀门等部件.采 样器配有4个采样通道,采样速率为100 L·min⁻¹, 两个采样通道的滤膜是直径为 47 mm 的石英滤膜 (Whatman plc, Middlesex, 英国),用于分析颗粒物有 机组分,两个通道的滤膜是 Teflon 膜(Gelman Sciences, 47 mm),用于测定 PM,5质量浓度. 采样的 同时,利用小流量的 HoneyComb(R&P Corp,美国, 10 L·min⁻¹) 颗粒物采样器同步采样,用以校对颗粒 物的质量浓度. 采样前,采样膜用铝箔包好放在马弗 炉里,在600℃下加热4h,然后在恒温恒湿箱中静 置 24 h 后取出待用.

表1 餐厅信息

Table 1 Basic information for each restaurant

				/ //
餐馆类型	菜系特点	灶台数	食用油 实测风量/m³·h-1	油烟净化装置
西餐厅	煎炸为主,肉类烹饪较多,蔬菜烹饪较少	4	橄榄油 21 328	静电式
韩式料理	以韩式烧烤为主,口味较重,多用辣椒酱等辛辣调味料	5	花生油 19078	静电式
茶餐厅	蒸煮为主,少量油炸,口味清淡	4	调和油 11 326	静电式
职工食堂	菜品烹饪量大但烹饪方式简单	5	调和油 33 451	静电式

1.2 样品分析

样品采集后,首先剪取滤膜的四分之一用于分 析样品的有机碳和元素碳含量,样品(1.45 cm× 1 cm)利用热光碳分析仪(Sun-set Laboratory Inc. 美 国)测定,仪器 EC 和 OC 的检测限为 0.2 μg·cm⁻². 将剩余采样膜均匀剪碎后放入处理过的提取瓶中, 首先加入氘代物内标(氘代二十四烷烃、苯甲酸-D 和氘代蒽),然后加入甲醇和二氯甲烷(体积比1:3) 的混合提取液,在超声波仪(KQ3200B,昆山超声仪 器有限公司)中提取,每个样品提取3次.提取完毕 后将提取液过滤并倒入蒸馏瓶中,利用旋转蒸发仪 (N-1000,东京理化器械株式会社,日本)浓缩.蒸发 水浴的温度为 37℃, 压力 0.02~0.08 MPa. 蒸发浓 缩至3 mL 后,将样品转移到 K-D 浓缩管中,用高纯 氮气重复吹扫定容至1 mL. 然后将样品分为4份, 其中2份在冰箱中保存备份,剩余2份,1份直接进 样,用于分析非极性物质;另1份则利用硅烷化试 剂 N,O-双-(甲基硅烷基)-三氟乙酰胺(BSTFA)和 三甲基氯硅烷(TMCS)的混合溶液(99:1)(Supelco, 美国)在70℃的条件下衍生2h后分析极性物质.两 份样品在进行分析之前都会加入同标样中相同浓度 的内标物(六甲苯).

分析所用的仪器是美国安捷伦公司的

6890 plus/5973 N 型气相色谱和质谱联用仪. 色谱柱为 DB-5 MS(J&W, 60 m×0. 25 mm×0. 25 μm). GC-MS 的主要条件是:进样口温度 300℃;不分流进样;恒流模式,流速 1.0 mL·min⁻¹;升温程序是起始温度 60℃,保持 10 min,以6℃·min⁻¹升温到 300℃,保持 40 min;扫描模式为全扫描. 有机组分的定性定量利用内标-工作曲线法进行确定,主要分析检测了正构烷烃、脂肪酸、多环芳烃、二元羧酸、甾醇和单糖等物质.

2 结果与分析

2.1 颗粒物浓度

本研究中,职工食堂的颗粒物浓度最高为 $(2.636\pm0.371)\,\mathrm{mg\cdot m^{-3}}$,其次是韩式料理[$(2.344\pm0.313)\,\mathrm{mg\cdot m^{-3}}$]和西餐[$(2.238\pm0.263)\,\mathrm{mg\cdot m^{-3}}$],茶餐厅最低为 $(1.862\pm0.181)\,\mathrm{mg\cdot m^{-3}}$.与前人的研究结果一样[20,21],4种类型的餐厅排放的颗粒物均以有机碳(OC)为主,有机碳占 PM_{2.5}质量的 60%以上,其中职工食堂的有机碳质量占比最高,达到 68.9%,剩余 3个餐厅的质量占比则较接近,为 63.2%~65.3%.元素碳(EC)的质量占比较低,OC与EC的比值为 10.6~20.2.在所有定性的有机组分之中(见表 2),各餐厅排放的脂肪酸质量

占比最高,其次是二元羧酸和正构烷烃,而多环芳烃、甾醇和单糖等有机组分的质量分数较低.各餐厅排放颗粒物的有机组成特征与 Zhao 等^[16]的结果类似,但与王红丽等^[19]模拟实验的结果差异较大,推测原因可能是其模拟实验的烹饪方式、油和食材的比例与餐厅不同造成的.

表 2 不同菜系排放有机颗粒物化学组成特征/%

Table 2 Composition characteristics of POM emitted

from	different	cooking	styles/%

菜系	西餐	韩式料理	食堂	茶餐厅
正构烷烃	0. 25	0. 20	0. 16	0. 17
多环芳烃	0.02	0.02	0.02	0.02
脂肪酸	16.07	14. 19	11. 26	15.00
二元羧酸	0. 54	0.44	0. 29	0.47
甾醇	0.04	0. 22	0. 27	0. 22
单糖	0.00	0.01	0. 02	0.02

2.2 正构烷烃

图 1 表示了各类型餐厅排放 PM_{2.5}中正构烷烃 (C14~C33)的含量分布. 各餐厅排放的正构烷烃的总含量均较低,仅占 PM_{2.5}质量的 0.2% 左右. 4 类餐厅中,正构烷烃含量最高的是西餐厅,为(2 461 ± 215) μg·g⁻¹,其次是韩式料理 [(2 012 ± 239)μg·g⁻¹]和职工食堂[(1 578 ± 146)μg·g⁻¹],茶餐厅最低,为(1 529 ± 144)μg·g⁻¹. 韩式料理、食堂和茶餐厅排放的正构烷烃在 C23~C33 之间有明显的奇碳优势,而西餐厅则不明显. 食堂和茶餐厅的 C29含量最高,这与前人针对粤菜、川菜、湘菜等菜系的研究结果一致. 高含量的 C29或者 C31说明烹饪过程中加入了大量的蔬菜,因为高等维管植物用于合成植物蜡的正烷烃中 C29、C31的含量最高^[22~25]. 西餐厅和韩式料理的 C_{max}均位于 C25,这与针对烤

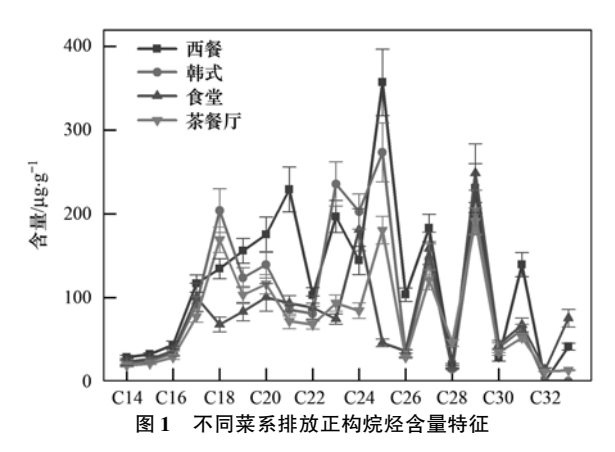


Fig. 1 Content of n-alkanes emitted from different cooking styles

肉的研究结果类似[10,24,25].

2.3 多环芳烃

图 2 表示各类型餐厅排放 PM_{2.5} 中多环芳烃 (PAHs)的含量. 各餐馆排放的 PM_{2.5} 中 PAHs 的总含量极低,只占 PM_{2.5}质量的极小部分(0.02%). 在4类餐馆之中,PAHs 的含量顺序为:西餐厅[(240.6±31.2) μg·g⁻¹] > 韩式料理[(212.1±17.8) μg·g⁻¹] > 茶餐厅[(209.1±26.3) μg·g⁻¹] > 职工食堂[(176.8±15.2) μg·g⁻¹]. 虽然职工食堂的烹饪量较大,排放的 PM_{2.5}质量浓度最高,但是 PAHs的含量明显低于西餐厅和韩式料理,主要原因是职工食堂在烹饪过程中加入了一定量的水,从而降低了烹饪温度,而烹饪温度较低会降低多环芳烃的含量. 但是,较低的烹饪温度较低会降低多环芳烃的含量增加^[26],因此职工食堂中排放的 PAHs 中,含量最高的是蒽和菲.

西餐厅烹饪了大量的煎炸食物,所以排放的 PAHs 含量最高,其中含量最高的是**届**,此结果与国 外西餐肉类烹饪的结果一致^[10~14,24]. 韩式料理餐厅

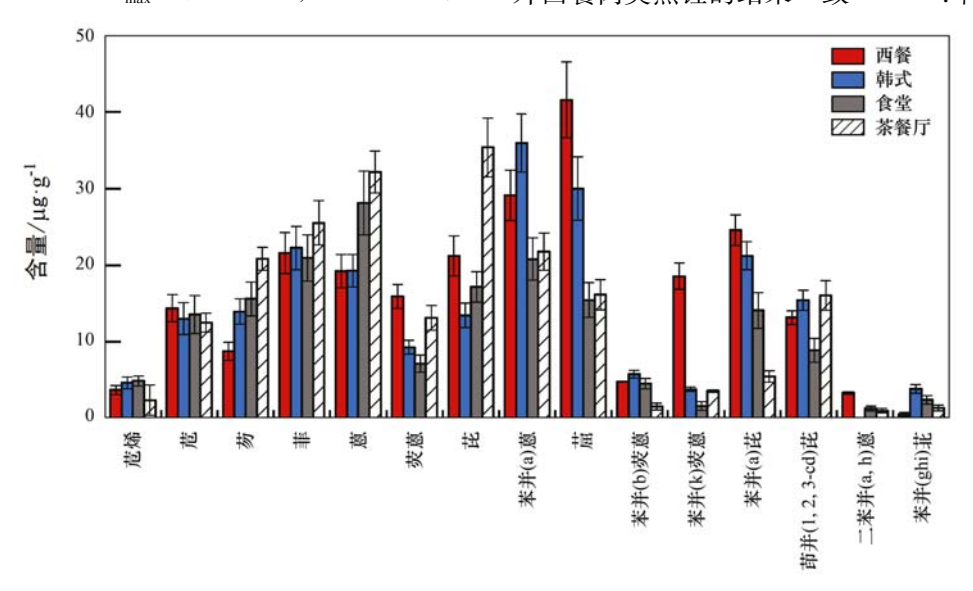


图 2 不同菜系排放多环芳烃含量特征

Fig. 2 Content of PAHs emitted from different cooking styles

中也制作了大量的韩式烤肉,所以 PAHs 的含量处于较高水平,且也排放了高含量的**篇**. 不过韩式料理排放的颗粒态 PAHs 中,含量最高的是苯并(a) 蒽,这是与其他菜系餐馆最大的差别. 茶餐厅中主要的烹饪方式是蒸和煮,所以 PAHs 的含量较低,但是在茶餐厅中,还存在一定量油炸食物,所以 PAHs 的含量高于职工食堂. 此外,茶餐厅排放的 PAHs 中,芘的含量最高,这与前人针对其他中餐的研究结果接近^[15,16]. 并且,由于茶餐厅的烹饪温度也较低,其排放的 PAHs 也以分子量较小的为主.

此外,在本研究中,西餐厅使用的是橄榄油,韩 式料理使用的是花生油,茶餐厅和职工食堂使用的 则是玉米调和油.前人的研究表明橄榄油和花生油 排放的 PAHs 浓度要明显高于玉米油^[26~28],这可能也是西餐厅和韩式料理排放 PAHs 含量高于食堂和茶餐厅的重要原因.

2.4 脂肪酸

图 3 表示了不同餐馆排放脂肪酸(F6~F24)的含量分布. 总体来说,各餐厅排放 PM_{2.5}中脂肪酸含量最高. 在所有餐厅排放的 PM_{2.5}中,不饱和脂肪酸的总含量高于饱和脂肪酸,且十六烷酸(F16)、十八烷酸(F18)、油酸(F18:1)和亚油酸(F18:2)是含量最高的脂肪酸,4 类脂肪酸的总量约占定量脂肪酸的60%以上. 此外,4 个餐厅排放的饱和脂肪酸都显示了非常强烈偶碳优势,这说明有大量天然油脂在烹饪过程中发生了水解^[10,23].

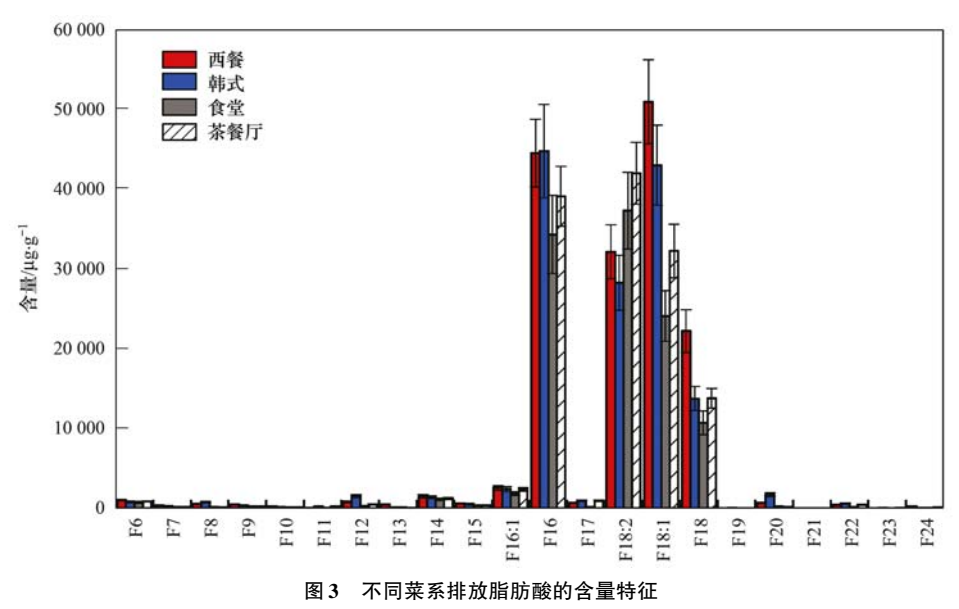


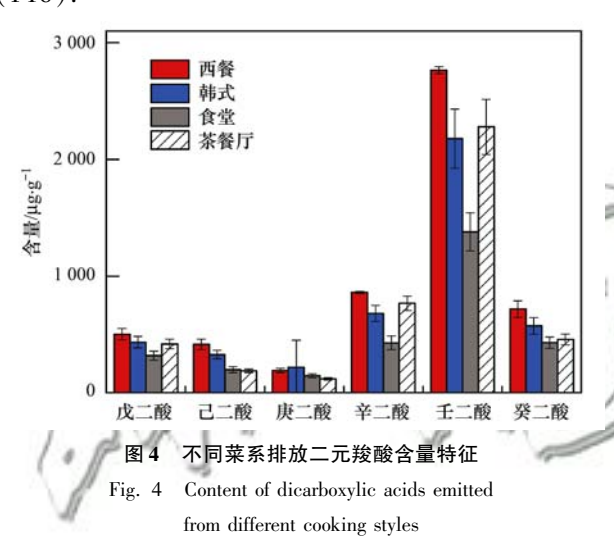
Fig. 3 Content of fatty acids emitted from different cooking styles

在本研究中,西餐排放了含量最高的脂肪酸 $[(160689 \pm 20581)$ μg·g⁻¹],脂肪酸总量占西餐厅 排放 PM, 5质量的 16.1%, 百分比远高于其他餐厅, 说明西餐中脂肪酸对颗粒物的贡献更大,主要的原 因是西餐的蔬菜用量比其他菜系特别是中餐低得 多.4 类含量最高的脂肪酸中, F16 > F18: 1 > F18: 2 >F18.而国外针对西餐的结果显示煎牛排排放的 脂肪酸中 F16 > F18: 1 > F18: 2 > F18^[10~14],这与本 研究中的西餐厅的结果一致. 韩式料理排放的脂肪 酸总含量仅低于西餐厅,为(141942±18531) μg·g-1,但是对颗粒物质量的贡献却低于西餐厅,为 14.2%.4 类脂肪酸的分布表现为: F16 > F18:1 > F18:2 > F18,与西餐厅的排放特征类似,不过韩式 料理颗粒物中 F16 的含量却略高于西餐厅. 职工食 堂排放的脂肪酸, 无论是含量[(112 624 ± 13 274) $\mu g \cdot g^{-1}$]还是对 PM₂5的贡献(11.3%)都远低于其 他3个餐厅,一方面是由于职工食堂烹饪的方式通 常以煮和炒为主,另一方面则是因为职工食堂通常所使用的食材中脂肪含量较低. 4 类脂肪酸含量大小顺序为:F18:2 > F16 > F18:1 > F18,与西餐和韩式料理的分布不一样. 4 个类型的餐厅中,茶餐厅样品中脂肪酸的含量略低于韩式料理,为(135 428 ± 10 693) µg·g⁻¹,但是其占 PM_{2.5}的质量分数却高于职工食堂和韩式料理,为 14.9%.茶餐厅排放脂肪酸含量较低的原因与职工食堂类似,而占比高于职工食堂的原因则是由于茶餐厅中烹饪了一定量的油炸食物. 4 类含量最高的脂肪酸的分布与职工食堂一样,与 He 等^[15]针对深圳市的粤菜和湘菜的研究结果一致,都是亚油酸的含量最高.

2.5 二元羧酸

图 4 表示了不同菜系餐厅排放 PM_{2.5}中二元羧酸的含量,二元羧酸的排放量要远小于脂肪酸,但要高于其他有机物,二元羧酸对 PM_{2.5}质量的贡献为 0.03%~0.05%.各餐厅二元羧酸的分布并没有明

显的差异.总体来看,西餐厅排放的二元羧酸含量明显高于其余3家餐厅,二元羧酸含量大小顺序为:西餐厅>韩式料理>茶餐厅>职工食堂.在所有二元羧酸之中,壬二酸(C9)的含量最高,并且远高于其他二元酸,同样的结果在前人的研究中也有发现[15,16].造成这种现象的原因主要是C18不饱和脂肪酸的分解[10,23].实际上烹饪产生的大量C18不饱和脂肪酸(如油酸)不仅会分解生成壬二酸,其他C9的有机酸甚至醛酮等都有可能生成.因此,在本研究中,除C9的二元羧酸外,C9的饱和脂肪酸含量也远高于其他奇碳数脂肪酸.这种裂解现象会受到烹饪温度的影响,温度越高,脂肪酸的裂解程度越高[23].所以在烹饪温度更高的西餐和韩式料理中,不饱和脂肪酸(F18:1和F18:2)的含量低于饱和脂肪酸(F16).



2.6 甾醇和单糖

本研究中主要检测了β-谷甾醇、豆甾醇、胆甾 醇、半乳糖、甘露聚糖和左旋葡聚糖这6类生物标志 化合物. 虽然这6类化合物的含量均较低(见图5), 但是不同菜系餐馆之间差异较大,可以作为区别不 同菜系的指示物.与前述脂肪酸等有机物不同,西餐 厅排放的甾醇总含量最低,且在西餐厅的 PM,5样品 中并没有检出豆甾醇. 而前人关于西餐肉类烹饪和 西式快餐的结果中只检测到了胆甾醇[10],这与本研 究的结果有一定的差异,推测原因可能是本研究中 西餐厅使用了少量玉米油的关系. 职工食堂排放了 最高含量的甾醇,韩式料理样品中的甾醇含量略低 于职工食堂,而茶餐厅则明显低于职工食堂和韩式 料理. 这3家餐厅排放的甾醇物质分布类似,都表现 为β-谷甾醇的含量最高,胆甾醇次之,豆甾醇最低. 而在植物体中自然态的甾醇也就是β-谷甾醇含量 最大[24],因此,西餐厅与其他3家餐厅的差异可能 是由蔬菜的烹饪造成.

单糖通常在大气中十分稳定,被认为是纤维素 热解的示踪物^[22~24].由于单糖与植物关系密切,所 以西餐厅仅检测到极低含量的左旋葡聚糖.韩式料 理排放的单糖总含量也较低,且并未检测到甘露聚糖.职工食堂和茶餐厅的样品中均检测到了3种单糖,不过职工食堂的含量高于茶餐厅.食堂和茶餐厅排放的单糖的含量大小顺序均为:左旋葡聚糖>半乳糖>甘露聚糖,与 Zhao 等^[16]的研究结果一致,因此,这3类单糖可以作为中式餐饮源的潜在示踪物.

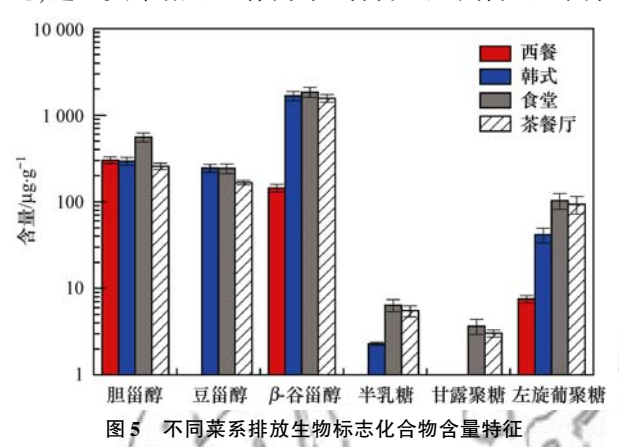


Fig. 5 Content of molecular biomarkers emitted from different cooking styles

3 讨论

3.1 潜在示踪物

餐饮油烟颗粒物中不少有机物的分子组成具有很强的源特征性,是源示踪物的最佳候选者,如胆甾醇、棕榈酸、油酸、亚油酸和内酯等被认为是肉类烹饪的示踪物^[10].但是这些物质通常不仅在餐饮源中出现,如香烟和植物碎片燃烧也会释放出胆甾醇等物质^[24,25].因此,单独选择某一种物质作为源示踪物存在极大的误差,需要选择一类有机物的组合来更准确地代表源示踪物.

多环芳烃同系物的特征比值是确定污染物来源的重要指标之一.表3列出了不同菜系餐馆排放颗粒物中Phe/(Ant+Phe)(178,同分异构体的相对分子量,下同),Fla/(Fla+Pyr)(202)、BaA/(BaA+Chry)(228)和InP/(InP+BghiP)(276)的值.从中可以看出,本研究所获得的PAHs特征比值,介于前人的研究结果之间,其中Phe/(Ant+Phe)的值都随菜系的不同变化幅度较大,西餐和韩式料理的值相对较高且十分接近,而食堂和茶餐厅的值较低也较接近.InP/(InP+BghiP)的值都随着菜系的不同,变化也十分明显,并且西餐和韩式料理的值仍非常接近,而茶餐厅和食堂的值则差距较大.不同餐馆颗粒物中Fla/(Fla+Pyr)和BaA/(BaA+Chry)的比值相对稳定,变化幅度较小,其中Fla/(Fla+Pyr)的值则

表 3 不同菜系餐馆的特征指标1)

Table 3	Diagnostic	ratios	of	each	cooking	style
rabie 3	Diagnosuc	ranos	OI	eacn	COOKING	Style

菜系				特征指标				
米分	Phe/(Phe + Ant)	Fla/(Fla + Pyr)	BaA/(BaA + Chry)	InP/(InP + BghiP)	F16/F18	F18: 1/F18	Di9/F18: 1	LG/(Gal + Man)
西餐	0. 53	0. 43	0.41	0. 96	2. 00	2. 29	0.05	ND
韩式	0. 54	0.41	0.54	0.80	3. 25	3. 12	0.05	18.03
食堂	0. 43	0. 29	0.57	0. 78	3. 19	2. 24	0.06	10. 25
茶餐厅	0.44	0. 27	0.57	0.92	2. 83	2. 34	0.07	10.98
粤菜(深圳)[15]	1.00	0. 36	0.47	0. 19	2. 38	3.01	_	14. 57
湘菜(深圳)[15]	0. 96	0. 44	0.51	_	2. 70	1.86	_	10. 10
粤菜(广东) ^[16]	_	0. 32	_	_	2. 52	3. 27	0.05	_
湘菜(广州)[16]	_	0.35	_	_	3.71	4. 54	0.05	17.71
川菜(广州) ^[16]	_	0. 32	_	_	4. 95	4. 83	0.06	8. 07
东北菜(广州)[16]	_	0.41	_	_	8. 11	6. 55	0.06	12.59
城市交通(上海) ^[26]	_	0. 52	0. 27	_	_	_	_	_
石油[26]	_	< 0.2	_	_	_	_	_	_
干草[31]	_	0. 63	0.68	_	5. 27	0.87	_	3.00

1) Phe 表示菲, Ant 表示蔥, Fla 表示荧蔥, Pyr 表示芘, BaA 表示苯并(a)蔥, Chry 表示**菌**, InP 表示茚并(1,2,3-cd)芘, BghiP 表示苯并(ghi) 苝; Di9 表示壬二酸; LG 表示左旋葡聚糖, Gal 表示半乳糖, Man 表示甘露聚糖;"一"表示没有数据

在 0. 2 ~ 0. 5 之间,前人的研究认为石油燃烧 Fla/(Fla + Pyr)的值小于 0. 2,而对于干草和木材等则大于 0. 5,交通源则在 0. 5 左右^[29,30]. 因此,Fla/(Fla + Pyr)可以作为餐饮源潜在的示踪物.

十六烷酸(F16)、油酸(F18:1)与十八烷酸 (F18)的比值被认为是可能的餐饮源示踪物. 本研 究计算了不同菜系颗粒物中的比值,如表3所示.西 餐排放的脂肪酸中 F16/F18 的值约为 2, 而韩式料 理、食堂和茶餐厅样品中 F16/F18 的值都接近 3,中 餐和西餐的差异较大. 此外,尽管韩式料理所排放的 颗粒物中 F16、F18、F18:1和 F18:2这4类脂肪酸的 分布模式与西餐一致,但是 F16/F18:1的值差距较 大. 与前人的研究相比较,本研究中中餐的结果接近 粤菜和湘菜的比值,远远小于川菜和东北菜.但是总 体来看,中餐的 F16/F18 的值更高,因此 F16/F18 可以作为区别中西餐源排放的指标之一. 另一方面, 西餐厅样品中 F18: 1/F18 的值与职工食堂、茶餐厅 的值非常接近,仅小于韩式料理.与前人的研究相 比,本研究中西餐、食堂和茶餐厅的比值较低,仅略 高于深圳的湘菜馆; 韩式料理的比值与粤菜的比值 接近,但仍远小于川菜和东北菜.此项比值,西餐和 部分中餐的差异不大. 此外,各餐厅壬二酸与油酸的 比值变化范围在 0.05~0.07,不同菜系之间的差异 也较小.

LG/(Gal+Man)即左旋葡聚糖/(半乳糖+甘露聚糖)]的值通常是木材或者秸秆燃烧的示踪物.本研究也进行了计算,具体结果见表3:西餐厅中只检测出了少量的左旋葡聚糖,无法计算,而剩余3家餐厅中韩式料理的比值最高,食堂和茶餐厅的值较低但非常接近.综合前人的研究结果,中式餐饮排放

的颗粒物中 LG/(Gal + Man) 的平均值为 12.78,区别于木材干草燃烧的平均值为(3.00) 和家庭壁炉的平均值 $(18.00)^{[24\sim26.31.32]}$,因此,LG/(Gal + Man)也可以作为中式餐饮的源示踪物.

3.2 与大气样品对比

本研究于 2019 年 7 月 10~17 日采集深圳市大气样品,采样地点为北京大学深圳研究院大楼西座顶层,大楼周围较空旷,无明显的污染源.每天采样一次,采样时间约 23.5 h.图 6显示了深圳市大气环境中和各餐馆排放的颗粒物中部分重要有机物的含量.从中可以发现,深圳市大气颗粒物中左旋葡聚糖的含量远远高于餐饮源颗粒物.左旋葡聚糖通常来源于生物质燃烧,因此,餐饮源对大气颗粒物中的左旋葡聚糖贡献相对较低.餐饮源对大气颗粒物中的左旋葡聚糖贡献相对较低.餐饮源颗粒物中多环芳烃的含量也远低于大气颗粒物,也说明除了餐饮源之外,大气颗粒物中的多环芳烃还有大量其他的来源,如汽车尾气等,对比前人的研究结果也可以发现,交

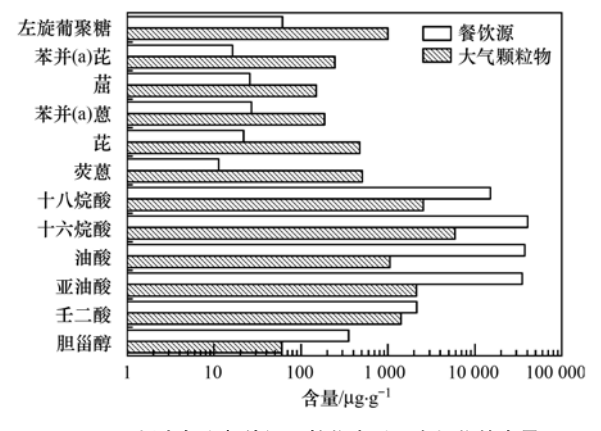


图 6 深圳大气和餐饮源颗粒物中重要有机物的含量

Fig. 6 Content of important organic compounds from cooking and in ambient air in Shenzhe

通源对大气颗粒物中 PAHs 的贡献程度要高于餐饮源^[30].另一方面,餐饮源颗粒物中脂肪酸的含量要高于大气颗粒物,其中不饱和脂肪酸的差距较大,主要原因是不饱和脂肪酸在大气中更容易氧化分解.在餐饮源和大气颗粒物中,饱和脂肪酸的含量较为接近,这说明餐饮源对深圳市大气颗粒物中的饱和脂肪酸的贡献较大.此外,大气颗粒物中壬二酸的含量也低于餐饮源,但差距相对较小,原因是餐饮源等排放 C18 的烯酸或者 C9 的醛类在大气中的氧化反应,生成了一定量的壬二酸.

4 结论

- (1)各餐厅排放的颗粒物中有机碳(OC)含量最高,占PM_{2.5}质量的60%以上.在所有定性的有机组分之中,脂肪酸含量最高,平均占PM_{2.5}质量在15%左右,其次是二元羧酸和正构烷烃,而多环芳烃、甾醇和单糖等有机组分所占质量分数较低.
- (2) 菜系的不同对颗粒物的有机组成有明显的 影响,西餐厅排放的脂肪酸、正构烷烃和多环芳烃等 有机物含量均是最高的,其次是韩式料理,茶餐厅和 职工食堂的含量较低. 但是甾醇和单糖等生物标志 化合物的含量,西餐厅却要远低于其余3类餐厅.
- (3)不同有机物之间的比值可以作为餐饮源的特征指标,Fla/(Fla + Pyr)和 LG/(Gal + Man)的比值在不同餐馆排放的颗粒物中较稳定,变化幅度小,与其他污染源的特征比值也有明显的区别,可以作为餐饮源潜在的示踪物.而 Phe/(Ant + Phe)和 InP/(InP + BghiP)等指标都随着菜系的不同,变化明显,可以作为不同菜系的污染特征.
- (4)餐饮源对深圳市大气颗粒物最大的贡献是 提供了大量的脂肪酸和二元羧酸,而对多环芳烃、单 糖类物质的贡献较低.

致谢:感谢中国科学院过程工程研究所赵紫薇 同学对本研究样品采集工作的帮助.

参考文献:

- [1] He K B, Yang F M, Ma Y L, et al. The characteristics of PM_{2.5} in Beijing, China [J]. Atmospheric Environment, 2001, **35** (29): 4959-4970.
- [2] Chen G B, Morawska L, Zhang W Y, et al. Spatiotemporal variation of PM₁ pollution in China [J]. Atmospheric Environment, 2018, 178: 198-205, doi: 10.1016/j. atmosenv. 2018.01.053.
- [3] Crippa M, DeCarlo P F, Slowik J G, et al. Wintertime aerosol chemical composition and source apportionment of the organic fraction in the metropolitan area of Paris [J]. Atmospheric Chemistry and Physics, 2013, 13(2): 961-981.
- [4] Sun Y L, Zhang Q, Schwab J J, et al. Characterization of the sources and processes of organic and inorganic aerosols in New York city with a high-resolution time-of-flight aerosol mass

- apectrometer[J]. Atmospheric Chemistry and Physics, 2011, 11 (4): 1581-1602.
- [5] Wan MP, Wu CL, To GNS, et al. Ultrafine particles, and PM_{2.5} generated from cooking in homes [J]. Atmospheric Environment, 2011, 45(34); 6141-6148.
- [6] 张腾,彭林,李颖慧,等. 餐饮源油烟中 PM_{2.5}的化学组分特征[J]. 环境科学研究, 2016, **29**(2): 183-191.

 Zhang T, Peng L, Li Y H, et al. Chemical characteristics of PM_{2.5} emitted from cooking fumes [J]. Research of Environmental Sciences, 2016, **29**(2): 183-191.
- [7] 温梦婷, 胡敏. 北京餐饮源排放细粒子理化特征及其对有机颗粒物的贡献[J]. 环境科学, 2007, **28**(11): 2620-2625. Wen M T, Hu M. Physical and chemical characteristics of fine particles emitted from cooking emissions and its contribution to particulate organic matter in Beijing[J]. Environmental Science, 2007, **28**(11): 2620-2625.
- [8] Huang X F, He L Y, Hu M, et al. Highly time-resolved chemical characterization of atmospheric submicron particles during 2008 Beijing Olympic Games using an aerodyne highresolution aerosol mass spectrometer[J]. Atmospheric Chemistry and Physics, 2010, 10(18): 8933-8945.
- and Physics, 2010, 10(18): 8933-8945.

 [9] Hildemann L M, Markowski G R, Cass G R. Chemical composition of emissions from urban sources of fine organic aerosol [J]. Environmental Science & Technology, 1991, 25 (4): 744-759.
- [10] Rogge W F, Hildemann L M, Mazurek M A, et al. Sources of fine organic aerosol. 1. Charbroilers and meat cooking operations [J]. Environmental Science & Technology, 1991, 25 (6): 1112-1125.
- [11] Schauer J J, Kleeman M J, Cass G R, et al. Measurement of emissions from air pollution sources. 1. C₁ through C₂₉ organic compounds from meat charbroiling[J]. Environmental Science & Technology, 1999, 33(10): 1566-1577.
- [12] Schauer J J, Kleeman M J, Cass G R, et al. Measurement of emissions from air pollution sources. 2. C₁ through C₃₀ organic compounds from medium duty diesel trucks [J]. Environmental Science & Technology, 1999, 33(10): 1578-1587.
- [13] Schauer J J, Kleeman M J, Cass G R, et al. Measurement of emissions from air pollution sources. 4. C₁-C₂₇ organic compounds from cooking with seed oils [J]. Environmental Science & Technology, 2002, 36(4): 567-575.
- [14] McDonald J D, Zielinska B, Fujita E M, et al. Emissions from charbroiling and grilling of chicken and beef[J]. Journal of The Air & Waste Management Association, 2003, 53(2): 185-194.
- [15] He L Y, Hu M, Huang X F, et al. Measurement of emissions of fine particulate organic matter from Chinese cooking [J]. Atmospheric Environment, 2004, 38(38): 6557-6564.
- [16] Zhao Y L, Hu M, Slanina S, et al. Chemical compositions of fine particulate organic matter emitted from Chinese cooking[J]. Environmental Science & Technology, 2007, 41(1): 99-105.
- [17] 叶素芬, 张彬, 符海欢, 等. 模拟烹调中细颗粒及多环芳烃的排放特征[J]. 厦门大学学报(自然科学版), 2013, **52** (6): 824-829.
 Ye S F, Zhang B, Fu H H, *et al.* Emission of fine particles and
 - fine particle-bound polycyclic aromatic hydrocarbons from simulated cooking fumes [J]. Journal of Xiamen University (Natural Science), 2013, 52(6): 824-829.
- [18] 符海欢, 田娜, 商惠斌, 等. 模拟不同排放源排放颗粒及多环芳烃的粒径分布研究[J]. 环境科学, 2014, **35**(1): 46-52.
 - Fu H H, Tian N, Shang H B, et al. Size distribution of particle

- and polycyclic aromatic hydrocarbons in particle emissions from simulated emission sources [J]. Environmental Science, 2014, 35(1): 46-52.
- [19] 王红丽, 景盛翱, 乔利平. 餐饮排放有机颗粒物的质量浓度、化学组成及排放因子特征[J]. 环境科学, 2019, **40**(5): 2010-2018.
 - Wang H L, Jing S A, Qiao L P. Chemical compositions, mass concentrations, and emission factors of particulate organic matters emitted from catering [J]. Environmental Science, 2019, 40 (5): 2010-2018.
- [20] See S W, Balasubramanian R. Risk assessment of exposure to indoor aerosols associated with Chinese cooking [J]. Environmental Research, 2006, 102(2): 197-204.
- [21] See S W, Balasubramanian R. Chemical characteristics of fine particles emitted from different gas cooking methods [J]. Atmospheric Environment, 2008, 42(39); 8852-8862.
- [22] 陈业高. 植物化学成分[M]. 北京: 化学工业出版社, 2004. 115-253.
- [23] Zhao Y L, Hu M, Slanina S, et al. The molecular distribution of fine particulate organic matter emitted from Western-style fast food cooking [J]. Atmospheric Environment, 2007, 41 (37): 8163-8171.
- [24] Rogge W F, Hildemann L M, Mazurek M A, et al. Sources of fine organic aerosol. 4. Particulate abrasion products from leaf surfaces of urban plants [J]. Environmental Science & Technology, 1993, 27(13): 2700-2711.
- [25] Rogge W F, Hildemann L M, Mazurek M A, et al. Sources of fine organic aerosol. 5. Natural gas home appliances [J]. Environmental Science & Technology, 1993, 27 (13): 2736-

- 2744.
- [26] Abdullahi K L, Delgado-Saborit J M, Harrison R M, et al. Emissions and indoor concentrations of particulate matter and its specific chemical components from cooking: a review [J]. Atmospheric Environment, 2013, 71: 260-294.
- [27] Chen B H, Chen Y C. Formation of polycyclic aromatic hydrocarbons in the smoke from heated model lipids and food lipids[J]. Journal of Agricultural and Food Chemistry, 2001, 49 (11): 5238-5243.
- [28] Chen Y C, Chen B H. Determination of polycyclic aromatic hydrocarbons in fumes from fried chicken legs [J]. Journal of Agricultural and Food Chemistry, 2003, 51 (14): 4162-4167.
- [29] Miguel A H, Pereira P A P. Benzo(k) fluoranthene, benzo(ghi) perylene, and indeno (1, 2, 3-cd) pyrene; new tracers of automotive emissions in receptor modeling [J]. Aerosol Science and Technology, 1989, 10(2): 292-295.
- [30] Gu Z P, Feng J L, Han W L, et al. Diurnal variations of polycyclic aromatic hydrocarbons associated with PM_{2.5} in Shanghai, China[J]. Journal of Environmental Sciences, 2010, 22(3): 389-396.
- [31] Oros D R, Simoneit B R T. Identification and emission factors of molecular tracers in organic aerosols from biomass burning Part 1. Temperate climate conifers[J]. Applied Geochemistry, 2001, 16 (13): 1513-1544.
- [32] Oros D R, Simoneit B R T. Identification and emission factors of molecular tracers in organic aerosols from biomass burning Part 2. Deciduous trees [J]. Applied Geochemistry, 2001, 16 (13): 1545-1565.

HUANJING KEXUE

Environmental Science (monthly)

Vol. 41 No. 8 Aug. 15, 2020

CONTENTS

Comparison Analysis of the Effect of Emission Reduction Measures for Major Events and Heavy Air Pollution in the Capital ZH	
$ \label{thm:continuous} Evaluation of Different ISORROPIA-II Modes and the Influencing Factors of Aerosol pH Based on Tianjin Online Data \\$	
Emission Characteristics of Particulate Organic Matter from Cooking	LI Yuan-ju, WU Ai-hua, TONG Meng-xue, et al. (3467)
Characteristics and Sources of 12 Trace Amount Elements in PM _{2.5} During a Period of Heavy Pollution in Huanggang, Central China	
Aerosol Optical Properties over the Ebinur Region	ZHANG Zhe, DING Jian-li, WANG Jin-jie (3484)
Characteristics of Secondary Organic Particles and the Potential Formation of SOA from VOCs During Wintertime Heavy Pollution Episo	des in Tianjin ·····
	······· XU Hong, TANG Miao, XIAO Zhi-mei, et al. (3492)
Characteristics and Source Apportionment of VOCs at Different Pollution Levels During the Winter in an Urban Area in Zhengzhou	
Emission Inventory of Intermediate Volatility Organic Compounds (IVOCs) from Biomass Burning in the Yangtze River Delta During 20	10-2018 · · · · · · · · · · · · · · · · · · ·
	···· ZHU Yong-hui, WANG Qian, HUANG Ling, et al. (3511)
Emission Characteristics of Biogenic Volatile Compounds (BVOCs) from Common Greening Tree Species in Northern China and Their	Correlations with Photosynthetic Parameters
	·· XU Yan, LI Shuang-jiang, YUAN Xiang-yang, et al. (3518)
Characteristics of Surface Ozone and Impact Factors at Different Station Types During the Autumn in Guangzhou	
Pollution Characteristics and Sensitivity Analysis of Atmospheric Ozone in Taian City	LI Kai, LIU Min, MEI Ru-bo (3539)
Pollution Characteristics and Health Risk Assessment of Heavy Metals in Road Dust from Non-ferrous Smelting Parks	FENG Yu-yao, SHI Jian-wu, ZHONG Yao-qian, et al. (3547)
Pollution and Source Analysis of Heavy Metal in Surface Dust from Xi'an University Campuses	
Monitoring Method of Total Particulate Matter in Ultra-low-emission and High-humidity Exhaust Gas from Stationary Sources and an Act	
Vessels' Air Pollutant Emissions Inventory and Emission Characteristics in the Xiamen Emission Control Area	
Method for High-resolution Emission Inventory for Road Vehicles in Chengdu Based on Traffic Flow Monitoring Data	
Inversion of Water Quality Parameters Based on UAV Multispectral Images and the OPT-MPP Algorithm	
Effects of Different Water Stratification on the Vertical Distribution of Nitrogen in Sediment Interstitial Waters: A Case Study of the Th	
	····· III ling-si ZHI Xiao-sheng HI Zi-long et al. (3601)
Pollution Status and Pollution Behavior of Microplastic in Surface Water and Sediment of Urban Rivers	
Spatial and Temporal Variation of Phytoplankton Community Structure and Its Influencing Factors in Shanghai River Channels	
Restoration of River Sediment by Calcium Peroxide (CaO ₂) Combined with Biochar	
Quantification of Nitrate Sources to Groundwater in Karst Trough-valley Areas Based on Dual Stable Isotopes of δ^{15} N-NO ₃ ⁻ and δ^{18} O-N	
Quantification of Nitrate Sources to Groundwater in Karst Trough-variety Areas based on Dutai Stable Isotopes of 6 18-1803 and 6 0-18	O ₃ and the isosource model
Dynamic Process of Nitrogen and Phosphorus Export and Loss Load in an Intensive Orchard with Ridge and Furrow Plantation in the Th	
Dynamic rrocess of Autogen and Fhosphorus Export and Loss Load in an intensive Orchard with Rudge and Furrow Frantation in the 1n	WANG Volume LILLOW And (2646)
Analysis of Rainfall Runoff Pollution and Pollution Load Estimation for Urban Communities in a Highly Urbanized Region	
Adsorption of As(III) in Water by Iron-loaded Graphene Oxide-Chitosan	
Adsorption of As(iii) in water by Iron-toaded Graphene Oxide-Unitosan Z. Sorption Behaviors of Copper Ions and Tetracycline on Microplastics in Aqueous Solution XU.	
Sorption benaviors of Copper ions and Tetracycline on Micropiastics in Aqueous Solution AU Effect of Porous Fillers Properties on Biofilm Growth	
Adaptability of Nitrifying Biofilm Systems to Low Temperature: MBBR and IFAS	
Improved on Nitrogen Removal of Anaerobic Ammonia Oxidation by Coupling Element Sulfur-based Autotrophic Short-cut Denitrification	
Nitrogen and Phosphorus Removal from Domestic Sewage Aerobic Granular Sludge Under Intermittent Gradient Aeration	
Rapid Start-up and Stability of Partial Denitrification Based on Different Waste Sludge Sources ZH.	
Decision-making Analysis of Excess Sludge Pretreatment for Struvite Recovery Based on AHP-PROMETHEE II Method	
Effect on Ammonia Inhibition Mitigation in the Anaerobic Digestion Process with Zero-Valent Iron	
Performance of Anaerobic Membrane Bioreactors for the Co-digestion of Sewage Sludge and Food Waste	
Antibiotics Induce Horizontal Gene Transfer of Resistance at Sublethal Concentrations	
Impact of Tetracycline Antibiotic on the Transcriptional Expression of Tetracycline Resistance Genes in Shigella flexneri	
Competitive Selection of Hydroxylamine on Ammonia Oxidizing Bacteria and Nitrite Oxidizing Bacteria	
Analysis of the Effect of Temperature on the Microbial Flora Structure During the Nitrite Oxidation Process Using 16S rRNA High-through	ghput Sequencing
Universality and Potential Application of Mn(II) Oxidation Triggered by Microbial Interspecies Interactions	
Distribution and Potential Nitrification Rates of Aerobic Ammonia-Oxidizing Microorganisms in Surface Sediments of Mangrove in Sanya	River
Effects of Ozone Pollution on Growth, Yields, and Mineral Metallic Element Contents of Paddy Rice	
Short Term Effects of a Changing Carbon Input on the Soil Respiration of Picea schrenkiana Forests in the Tianshan Mountains, Xinjian	9
Effects of the Combined Application of Organic and Inorganic fertilizers on N ₂ O Emissions from Saline Soil	
Mechanism and Influencing Factors of Increasing Soil Temperature by in-situ Electrical Resistance Heating	
Acid Mine Wasteland Reclamation by Juncus ochraceus Buchen as a Potential Pioneer Plant	·· HUANG Jian-hong, FU Jiang-li, YAN Xin-rui, et al. (3829)
Effects of Drip Irrigation Patterns and Biochar Addition on Soil Mineral Nitrogen and Microbial Regulation of Greenhouse	
Effects of Cotton Stalk Biochar on the Structure and Function of Fungi Community in Alkaline Rhizosphere Soil of Rice Under Cadmium	Pollution ····
	· LIU Shi-dou, HAN Yao-guang, ZHU Xin-ping, et al. (3846)
$Effects \ of \ Different \ Treatments \ with \ Water \ Management \ Combined \ with \ Leaf \ Spraying \ Silicon \ Fertilizer \ on \ Cd \ Accumulation \ in \ Rice \cdots$	WEI Bin-yun, ZHOU Hang, LIU Jia-wei, et al. (3855)
Effects of Chelate GLDA on the Remediation of Cadmium Contaminated Farmland by Pennisetum purpureum Schum	QIN Jian-jun , TANG Sheng-shuang , JIANG Kai , $\it et~al.~(3862)$
Situation Analysis and Trend Prediction of the Prevention and Control Technologies for Planting Non-Point Source Pollution	· YU Ying-liang, YANG Lin-zhang, LI Hong-na, et al. (3870)